СТРОЯТЕЛЬНАЯ МЕХАНИКА

в. А. ЗАКАРЯН

ЭКСПЕРИМЕНТАЛЬНОЕ ИССЛЕДОВАНИЕ ДИНАМИЧЕСКИХ ХАРАКТЕРИСТИК ЗДАНИЙ ПОВЫШЕННОЙ ЭТАЖНОСТИ

Степень и характер сейсмического воздействия на здания и сооружения в значительной степени обусловлены их динамическими карактеристиками. Сейсмическая пасрузка на сооружение ипределяется на основе значений ее периодов и форм снободных колебаний, а также декрементов колебаний. Аналитическое определение динамических характеристик связано со значительными вычислительными трудностями. Кроме того, на их значених существенное влияние оказывают факторы, не поддающиеся точному математическому учету, жесткость заполнения и прочих неконструктивных элементов, деформативноств перекрытий, податливость основания и т. д. Поэтому, для уточнения результатов теоретических исследований и выявления действительной картины работы злания при сейсмических поэдействиях, необходимы экспериментальные данные о динамических карактеристиках реальных зданий. С этой целью нами проведены около 400 патурных микро ейсмических и два вибрационных испытания высотных зданий г. Еревана, в результате чего определены периоды свободных колебаний 78 зданий различных конструктивных решений и назначений: 41 жилого каркасного, 20 общественных каркасных, 17 комплексных и блочно-каркасных.

На рис. І приведены записимости периодов исех испытанных адании от числа их этажей. Как видно из рисунка, панболее "гибкими" оказались каркасные здания общественного назначения, а наиболее "жесткими"— блочно-каркасные жилые здания. На основе этих данных получены эмпирические формулы для определения периода основной формы колебаний высотных зданий (T_1) в записимости от числа этажей (n):

для общестпенных каркасных зданий — $T_1=0.084~n=0.10~[ce\kappa];$ для жилых карчасных зданий — $T_1=0.084~n=0.20~[ce\kappa];$ для жилых комплексных зданий — $T_1=0.068~n=0.15~[ce\kappa];$ (1) для жилых блочно-каркасных зданий — $T_1=0.042~n=0.05~[ce\kappa].$

Определенные этими эмпирическими формулами величины периодов соответствуют начальным значениям периодов колебаний зданит. е. низким уровням напряжений. При испытаниях зданий колебания замерялись как и поперечном, так и и продольном напраплениях. Для секционных каркасных зданий с поперечными несущими рамами значения периодон колебаний в продольном направлении оказались больше периодон колебаний в поперечном направлении в среднем на 30 пл. а для блочно-каркасных зданий на 80 пр. для комплексных и точечных каркасных зданий значения периодов в обоих направлениях оказались очень близкими и отличались в среднем на 8 гг.

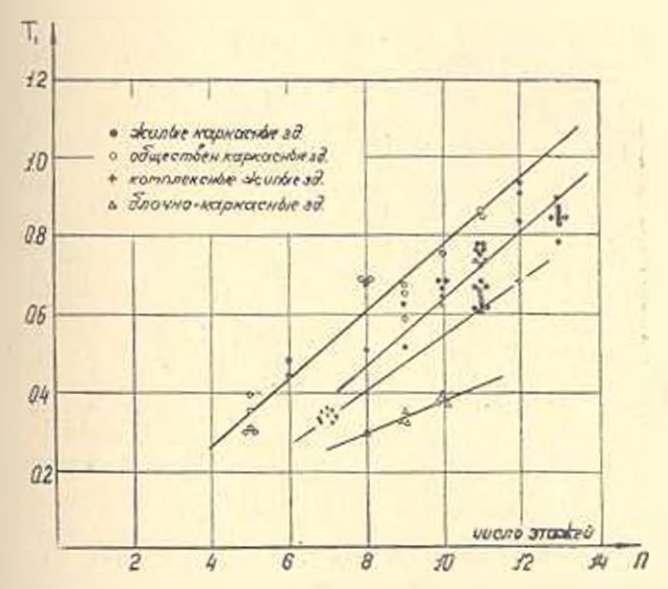


Рис. 1. Записимость периода колебании зданий от числя ятажей.

Сравнение периодов колебаний голых каркасов (этажерок) и уже готовых зданий показало, что заполнение уменьшает значения периода основной формы колебаний каркаса-этажерки в среднем на 30° п.

Анализ замеров колебании здания до и после их вселения и на протяжении последующих лет их эксплуатации показал, что вселение ориводит к небольшому увеличению периода (до 10 правых двух высотой 10 и более этажен и основном в течение первых двух лет их эксплуатации.

Замеры колебаний как голых каркасов-этажерок, так и зданий по мере возведения этажей показали, что их периоды увеличиваются по аниейному закопу. Отметим, что такая же липейная зависимость периода от этажа получена и в работе [1] в виде:

$$T_i = 2\pi \left(A_i - B_i n\right) \left\{ -\frac{m}{a} \right\}. \tag{2}$$

Недостатком микросейсмических испытаний является то, что при атом здания находятся в низком напряженном состоянии и иследствие превмерной малости амплитуд не удается определять формы, декременты и значения периодов высших форм колебаний. Для определения динамических характеристик эданий при более высоких уровиях напряжений, как уже было отмечено, были подвергнуты вибрационному ислитацию два наиболее характерных в конструктивном отношении зданию 12-этажный жилой дом Хорового общества со сборным каркасом и Пэтажный жилой дом Армгипроцветмета с монолитным каркасом. Равномерное ступенчатое понышение уровня напряжений при вибрационным испытаниях созданалось путем наращивания неличин дебалансов вибраторов.

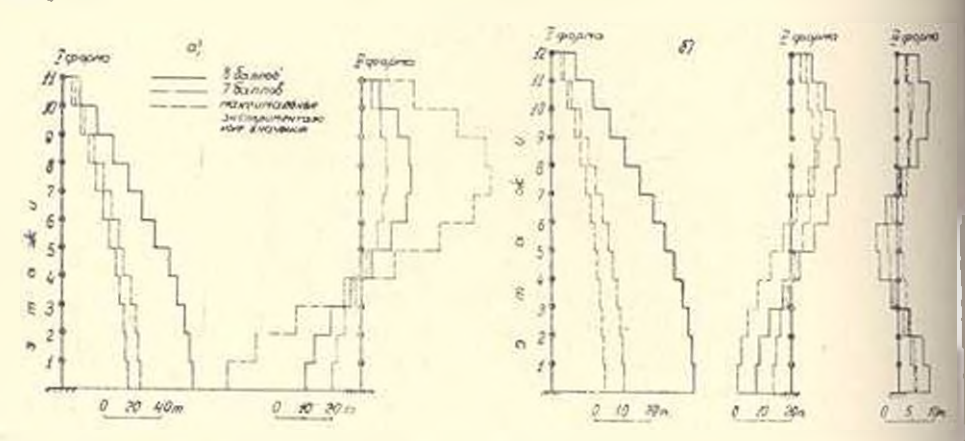


Рис. 2. Эпюры перерезывающих сил: п здоние с монолитивы каркосом; 6 - дла-

С целью оценки уровня напряженного состояния, который был достигнут при вибрационных испытаниях, построены экспериментальные эноры перерезывающих сил (рис. 2). Экспериментальные эначения инерционных сил определялись по формуле:

$$S_{kl} = m_k Y_{kl} \left(\frac{2\pi}{T_k}\right)^2 . \tag{3}$$

где ти масса к-го этажа;

 Y_{kl} — экспериментальная амилитула k-го этажа при k-ой форме колебаний;

Т. экспериментальный период свободных колебаний і-ой формы. Для сравнения на рис. 2 построены также расчетные эпюры перерезывающих сил согласно СНиП II-А. 12—69 для землетрясений интенсивностью и 7—8 баллов. Как видно из рисунка, экспериментальные эпюры первой формы близки к расчетной 7 балльной, а эпюры II формы — к 8 балльной.

Вибрационные испытания грказали, что междуэтажные перекрытия, даже при уровнях напряжений, близких к расчетным, не депланируются и играют роль жестких, поступательно перемещающих дископ, перераспределяющих усилия между стойками каркаса. Это наглядно видно из рис. 3, где построены экспериментальные формы колебаний. На рисунке принедены также теоретические формы ко-

авбаний, построенные по данным работы [2]. Как видно из рисунка, вепериментальные и теоретические формы почти сояпадают. Причем, формы колебаний здания с монолитным каркасом имеют лучшее совнадение с теоретической кривой, что можно объяснить тем, что в этом случае перекрытия лучше выполняют роль жестких дисков. Легко заметить, что с упеличением уровия напряжений экспериментальная криван исе более приближается к георетической.

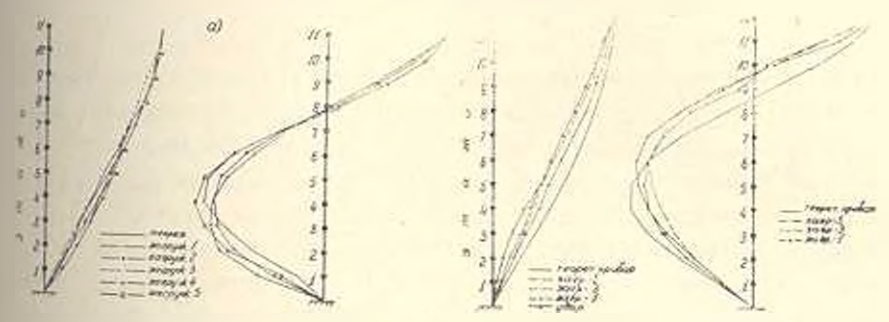
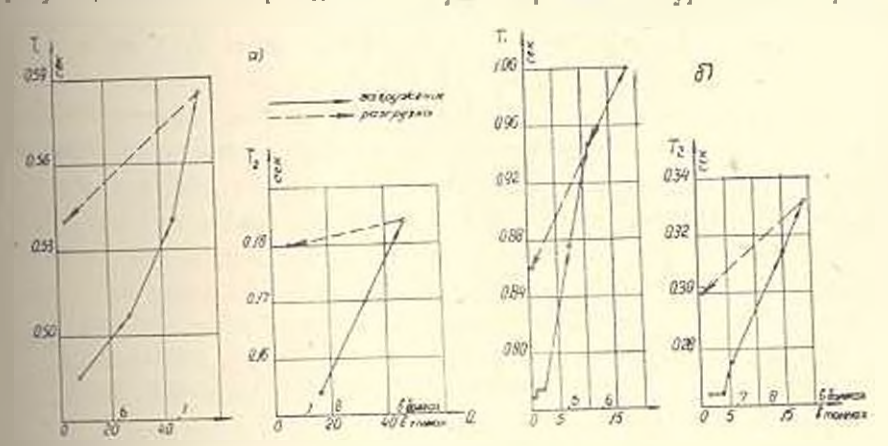


Рис. 3. Формы колебаний здоний: a—здание с монолитным каркасом; b—здание со сборным каркасом.

На рис. 4 приведены графики зависимости периодов свободных полебаний зданий от величины перерезывающей силы на уровне 1 этажа (в баллах и тоннах). Отметим, что значения периодов, определенные при микросейсмических испытаниях и при низких уровнях напряжений вибрационных испытаний, оказались одинаковыми. Как видно из рисунка, значения периодов по мере возрастания уровня напряжений



Рмс. 1 Зависимость периода от уровия напряжении: а - здание с монодитным каркасом; о здание он сборным карказом.

увеличивались, причем, период основной формы колебаний увеличился $\epsilon \psi$ до появления в здании повреждений: для здания со сборным каркасом на 30° а для здания с монолитным каркасом на 20° . При зальнейшем понышении уровня напряженного состоящия и появлении в

здании попреждений имело место более интенсивное унеличение периода.

Исходя из указанного, для определения периодов свободных колебаний каркасных зданий при учете нелинейности их работы формула (2) примет вид:

$$T_i = 2\pi \left(A_i - B_i n \right) b \sqrt{\frac{m}{a}} \tag{4}$$

где A_i и B_i — безразмерные коэффициенты, записящие от формы колебании $\{1\}$; \emptyset — безразмерный коэффициент, учитывающий нелинейность работы здания; m — масса этажа; α — жесткость этажа.

Значения коэффициента ⁶ рекомендуем принимать: для эданий со сборным каркасом 1,3. для эданий с монолитным каркасом 1,2. Указанный коэффициент имеет несколько большее значение для сборного каркаса, по-видимому, из-эл наличия в последнем стыкон, которые при любом методе замоноличивания все же "страдают" некоторой податливостью.

Таким образом, легко получаемые данные микросейсмических испытаний могут быть широко использонаны в расчетах и исследованиях, благодаря переходным коэффициентам, учитывающим нелинейность работы конструкции здания при повышении уровня напряжений. Отметим, что при испытаниях между частотами первых трех форм коле аний почти всегда соблюдалось соотношение: $p_1:p_2:p_3=1:3:1,5$, что, так же как и формы колебаний, указывлет на преобладание сдвиговых деформаций.

Значения периодов, определенные по формуле (2), для всех испытанных зданий оказались выше действительных в среднем на 30 что, можно объяснить тем, что в формуле не учтено влияние заполнения на общую жесткость здания. Очевидно, что заполнение несколько повышает жесткость этажа. Поэтому формула (2) с учетом влияния заполнения и нелинейности работы здания примет вид:

$$7. \quad 2\pi (A_1 + B, n) = \frac{m}{\pi} . \tag{5}$$

где 🤤 - безразмерный коэффициент, учитывающий илияние заполнения на жесткость каркасного здания.

По данным натурных испытаний незанисим г от вида заполнения (перегородочное, пемзоблочное или каменное) значение коэффицианта с следует принимать в пределах z=1.6-1.8.

Из вышензложенного следует, что увеличение периода из-за нелинейности работы здания и его уменьшение из-а влияния жесткости заполнения почти эквивалентны. Поэтому периоды колебаций каркасных зданий могут быть определены и без учета коэффициентов и р. т. с. по формуле (2). Однако при этом необходимо учесть, что нычисленные вначения периодов соответствуют высоким уровням напряжений, а не влачениям.

Значения декрементон колебаний определялись как при микросейсмических, так и при пибрационных испытаниях. В первом случае их апачения определялись непосредственно из записей затухающих колебаний, как логарифм отношения соседних амплитул, а при вибрационмых испытаниях декременты определялись и по экспериментальным ревонансным кривым, причем, как по пиковой амплитуде A, т. е. коэффициенту динамичности, так и по ширине резонансной кривой при 0,5 A и 0,7 A. Сопоставление полученных данных показало, что декременты, определенные при микросейсмических испытаниях, очень малы и инлычно отличаются от декрементой, соответствующих низким уроввям нибрационных испытаний (в 3 и более раза). На рис. 5 приведены

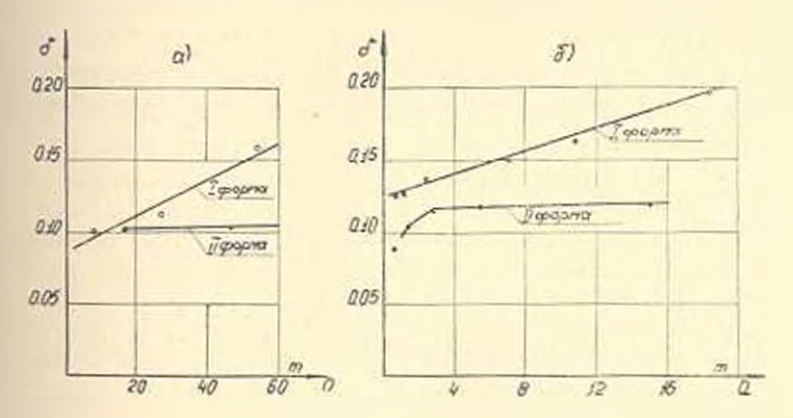


Рис. 5. Завнеимость декречентов от ургани напряжений: а-здание мополитимы нарявеом; а-здание то сборпым нарявеом.

зависимости декрементов от перерезынающей силы на уровне 1 этажа. Из рисунка видно, что при вибрационных испытаниях значения декрементов 1 формы свободных колебаний по мере увеличения уровня напряжений возрастают, а декременты 11 формы колебаний практически не зависят от уровня напряжений и оказались несколько меньше соответствующих значений 1 формы. В целом значения декрементов для здания с монолитным каркасом оказались несколько меньше соответствующих значений для здания со сборным каркасом.

В результате вибрационных испытаний было также выявлено, что податливость основания (горизонтальное смещение здания по основанию и качание коробки здания) почти не влияет на общее деформирование состояние каркасного здания и что его смещения к основном обусловлены сдинговой деформацией коробки здания.

4. U. 2U.QU.P3UL

ԲԱԶՄԱՀԱՐԿ ՇԵՆՔԵՐԻ ԳԻՆԱՄԻԿ - ԲՆՈՒԹԱԳՐԵՐԻ ՓՈՐՉԱՐԱՐԱԿԱՆ ՀԵՏԱԶՈՏՈՒԹՅՈՒՆ

Bullendinen

Հարվածում ընդհանրացված են շուրջ 400 դինամիկ փորձարկումների տվյալները, որի հետևանքով որոշված են տարբեր կոնստրուկտիվ լուծում և նշանակություն ունեցող 78 շևնքերի դինամիկ ընությադրերը։ Միկրոսելոմիկ և հիրթացիոն փորձարկումների արդյունքների հիման վրա ի հայտ են բերված տետլ շննրերի դինամիկ ընությունընկ կախվածությունը տարքեր դործոններից՝ լարման մակարդակից, հիմնատակի ընկրկելիությունից, հարկայնությունը, կարկասի լիցքից, կոնստրուկտիվ առանձնա տակություններից՝ շահադործման ժամանակից և այլն։

Առաջարկվում են բանաձևնը շենթերի ազատ ատտանումների պարբերու-Բյունների որոշման համար, որոնք հաշվի են առնում - դեֆորմացիաների ոչգծայնությունը և լիցթի ազգեցությունը շենթի ընդհանուր կոշտության վրա։

ЛИТЕРАТУРА

- 1 Гороян Т. Хачиян Э. Г. К определению периодон и форм спободных колеба нии мисгоэтажных каркасных здаяна. "Известия АН АрмССР (серик Т. Н.)". т. XXIII, № 5, 1970.
- Рекомендации по определению периодов и форм колобавий каркаеных эдента.
 Издание АИСМ, Ереван, 1970.